

<b>Zeitschrift:</b>	Schweizerische Bauzeitung
<b>Herausgeber:</b>	Verlags-AG der akademischen technischen Vereine
<b>Band:</b>	90 (1972)
<b>Heft:</b>	15
<b>Artikel:</b>	Optimale Werte der Regelungsparameter einer hydro-elektrischen Gruppe
<b>Autor:</b>	Tschumy, A.
<b>DOI:</b>	<a href="https://doi.org/10.5169/seals-85170">https://doi.org/10.5169/seals-85170</a>

### Nutzungsbedingungen

Die ETH-Bibliothek ist die Anbieterin der digitalisierten Zeitschriften auf E-Periodica. Sie besitzt keine Urheberrechte an den Zeitschriften und ist nicht verantwortlich für deren Inhalte. Die Rechte liegen in der Regel bei den Herausgebern beziehungsweise den externen Rechteinhabern. Das Veröffentlichen von Bildern in Print- und Online-Publikationen sowie auf Social Media-Kanälen oder Webseiten ist nur mit vorheriger Genehmigung der Rechteinhaber erlaubt. [Mehr erfahren](#)

### Conditions d'utilisation

L'ETH Library est le fournisseur des revues numérisées. Elle ne détient aucun droit d'auteur sur les revues et n'est pas responsable de leur contenu. En règle générale, les droits sont détenus par les éditeurs ou les détenteurs de droits externes. La reproduction d'images dans des publications imprimées ou en ligne ainsi que sur des canaux de médias sociaux ou des sites web n'est autorisée qu'avec l'accord préalable des détenteurs des droits. [En savoir plus](#)

### Terms of use

The ETH Library is the provider of the digitised journals. It does not own any copyrights to the journals and is not responsible for their content. The rights usually lie with the publishers or the external rights holders. Publishing images in print and online publications, as well as on social media channels or websites, is only permitted with the prior consent of the rights holders. [Find out more](#)

**Download PDF:** 23.02.2026

**ETH-Bibliothek Zürich, E-Periodica, <https://www.e-periodica.ch>**



## Aufruf zur Schweizer Mustermesse 1972

Die Schweizer Mustermesse ist seit ihrem Bestehen ein Forum besonderer Art; sie ist ein Treffpunkt der Wirtschaft, wo Produktion, Handel und Konsum in ihrer engsten Verflechtung in Erscheinung treten. So stellt sich auch die 56. Mustermesse als bunt schillernde Palette vielfältigen Schaffens dar. Dieses Jahr verbindet sich zudem der altbewährte Ausstellungsgedanke einer einheimischen Leistungsschau wiederum mit dem einer weiteren Öffnung unseres nationalen Blickwinkels auf das Angebot ausländischer Handelspartner.

Ohne ihren traditionellen Charakter zu verleugnen, gewinnt heute die Schweizer Mustermesse als Schaufenster hochwertiger Arbeit die zeitgerechte Dimension eines Begegnungsortes, wo sich Hersteller schweizerischer Produkte mit ihren ausländischen Konkurrenten messen und auf Grund der Vergleichsmöglichkeiten ihr Angebot ausrichten können. Die ausländischen Besucher erhalten zugleich einen Einblick in das Leistungsvermögen eines kleinen Landes, das sich trotz seiner verhältnismässig bescheidenen Mittel zu behaupten gewillt ist. Die Schweizer Mustermesse leistet damit auf ihre Art einen Beitrag zur europäischen Zusammenarbeit und zur Förderung des Verständnisses für die Lage unseres Landes.

Ich heisse die Besucher aus dem In- und Ausland herzlich willkommen und entbiete der diesjährigen Mustermesse meine besten Wünsche zu einem vollen Erfolg.

Nello Celio  
Bundespräsident

### Zum Inhalt des vorliegenden Heftes

*Die Ateliers des Charmilles S. A. in Genf feierte im Jahre 1971 das Jubiläum ihres fünfzigjährigen Bestehens. Sie hat uns zu diesem Anlass die nachfolgenden Aufsätze zur Veröffentlichung zugestellt. Da deren redaktionelle Bearbeitung einen grossen Aufwand erforderte, ist es uns erst jetzt möglich, sie erscheinen zu lassen. Sie geben Einblick an das mannigfache Produktionsprogramm des angesehenen Genfer Hauses, das seine Blüte der Arbeit so vieler unserer SIA- und GEP-Kollegen verdankt.*

*Die Redaktion*

## Optimale Werte der Regelungsparameter einer hydro-elektrischen Gruppe

Von A. Tschumi, dipl. Ing., Genève

DK 621.221:62-531

### 1. Zur Aufgabe des Reglers

Die in den letzten Jahren gemachten Erfahrungen über die Arbeitsweise von Wasserturbinen und ihrer Zuleitungen haben zu bemerkenswerten Fortschritten in der Regelung dieser Maschinen geführt. Im allgemeinen wird vorausgesetzt, die Regelung einer Wasserturbine arbeite stabil, genau und rasch. Sie werde also einer gewissen Anzahl von Anforderungen gerecht. Jedoch ist die Wahl eines allgemeinen Kriteriums der Güte, das sowohl vom Benutzer der Anlage als auch vom Erbauer anerkannt wird, nicht leicht zu treffen. Diese Wahl hängt von der Entwicklung der theoretischen Arbeiten, der Untersuchungsmethoden und den Möglichkeiten für Kontrollversuche ab.

Während langer Zeit wurde das Gütekriterium auf Grund des Verhaltens der geregelten Anlage nach einer sprunghaften oder impulsartig verlaufenden Laständerung bestimmt. Dank der raschen Entwicklung, welche die Theorie der Automatik in den letzten Jahren erfahren hat, stehen uns seit kurzem die zum Studium einer optimalen Regelung notwendigen mathematischen Grundlagen auch für den Fall beliebiger Lastschwankungen zur Verfügung, wie sie in Wirklichkeit im Netzbetrieb vorkommen. Einen sehr beträchtlichen Teil davon sind der Electricité de France (E.d.F.) zu verdanken, deren Abteilungen «Studien und Forschungen» sowie «hydraulische Produktion» hierüber verschiedene Abhandlungen veröffentlicht haben [1] [2] [3].

Im Falle einer Wasserturbine stellt sich der Regelungsvorgang wie folgt dar: Die zu regelnde Anlage ist eine aus Turbine und Generator bestehende Maschinengruppe, die entweder im Inselbetrieb oder im Verbundbetrieb mit einem grossen Netz

arbeitet. Die Regelung hat bekanntlich die Aufgabe, die Energiezufuhr zur Turbine derart der momentanen Last anzupassen, dass bei Inselbetrieb die Drehzahl möglichst konstant bleibt, und dass bei Verbundbetrieb die Leistungsabgabe möglichst genau der Laständerung folgt. Als Regelgrösse wirkt die Drehzahl (allenfalls in Verbindung mit der Beschleunigung). Das Regelorgan stellt die Abweichungen des Istwertes vom Sollwert fest und verändert die Energiezufuhr dementsprechend. Der Regelkreis (Bild 1) wird je nach dem Falle entweder stetig oder mit Unterbrechungen durchlaufen.

Die Laständerungen erfolgen entweder langsam (z.B. wenn sie durch die Schwankungen im wöchentlichen oder täglichen Rhythmus des Bedarfs hervorgerufen werden) oder sie treten als stossweise Abweichungen von den Mittelwerten auf, die von zufälligen Ab- und Einschaltungen bei den Verbrauchern herrühren. Die ersterwähnte Art von Änderungen sucht man durch die Sekundärregelung zu meistern; diese soll den Mittelwert des Lastenaustausches in den Verbindungsleitungen zwischen den verschiedenen Netzen auf gleicher Höhe halten. In jedem Netz sucht also die Sekundärregelung einen Ausgleich zwischen Erzeugung und Verbrauch zu schaffen. Diese Regelungsart ist ausschliesslich die Aufgabe des Netzreglers, der für jede Maschine oder Maschinengruppe die Höhe der Last bestimmt.

Die Beherrschung der zweiten Art von Änderungen ist Sache der Primärregelung. Für jede Gruppe und je nach den Charakteristiken jedes Regulators beschränkt sie die von ihr festgestellten Frequenzvariationen durch Anpassen der Gruppenleistung auf einstellbare Werte. Außerdem soll diese Regelungsart einen stabilen Gang sowohl bei Inselbetrieb wie auch

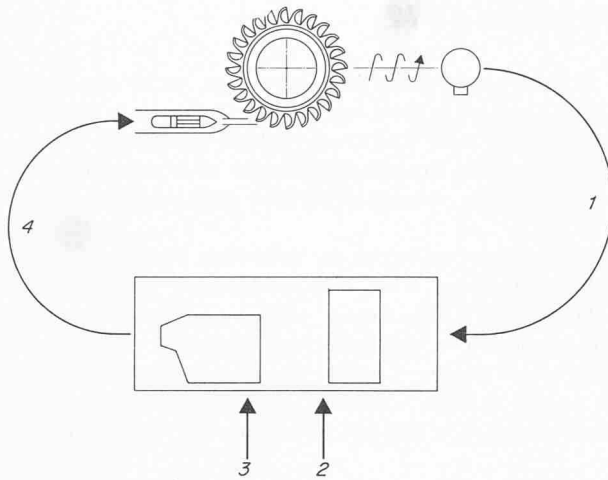


Bild 1. Prinzipschema des Regelkreises einer hydroelektrischen Gruppe. 1 Änderung der Drehzahl bzw. der Leistung, 2 Leistung, 3 Drehzahl (Sollwerteingaben in den Regler), 4 Steuerung der Energiezufuhr

bei Parallelarbeiten mit einem Netz mit Sekundärregelung erlauben. Und schliesslich sichert sie jeder einzelnen Gruppe einen stabilen Leerlauf, um das Parallelschalten mit dem Netz zu erleichtern.

## 2. Grundgleichungen für das Regelverhalten von Wasserturbinen

Die Berechnung des Regelverhaltens von Wasserturbinen ist schon in mehreren Veröffentlichungen durchgeführt worden [4] [5] [6], so dass hierauf nicht eingegangen werden muss. Erwähnt seien lediglich die zugrunde liegenden Voraussetzungen; diese sind:

- a. Die Gruppe arbeitet allein im Inselbetrieb
- b. Die Anwendung von linearen Beziehungen verlangt, dass die Abweichungen der massgebenden Größen von ihren Sollwerten klein bleiben
- c. Die Kurven, welche die verschiedenen Größen darstellen, werden bei stationärem Betrieb an den in Betracht kommenden Punkten durch ihre Tangenten ersetzt
- d. Die Gleichung des Druckstosses nimmt Rücksicht auf die Kompressibilität des Wassers und die Elastizität der Leitungswände

Die Grundgleichungen für die Regelung einer hydroelektrischen Gruppe lassen sich wie folgt zusammenfassen<sup>1)</sup>:

Rotierende Massen

$$(1) \quad \frac{d}{dt} \Delta N = \frac{1}{T_\sigma} \left( \Delta \dot{E}_0 + \frac{3 - 2b_h}{2} \Delta H - \alpha \Delta H \right)$$

Regulator (bei accelero-tachymetrischer Regelung)

$$(2) \quad \frac{d}{dt} \Delta \dot{E}_0 = -\frac{1}{T_x} \left( \Delta N + T_n \frac{d}{dt} \Delta N \right)$$

<sup>1)</sup> Die Bedeutung der Zeichen ist auf S. 345 angegeben.

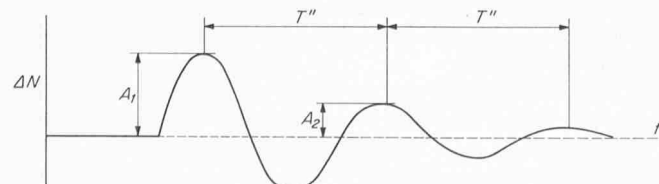


Bild 2. Drehzahlverlauf nach einer Störung und charakteristische Werte für die Rückkehr in einen neuen Beharrungszustand

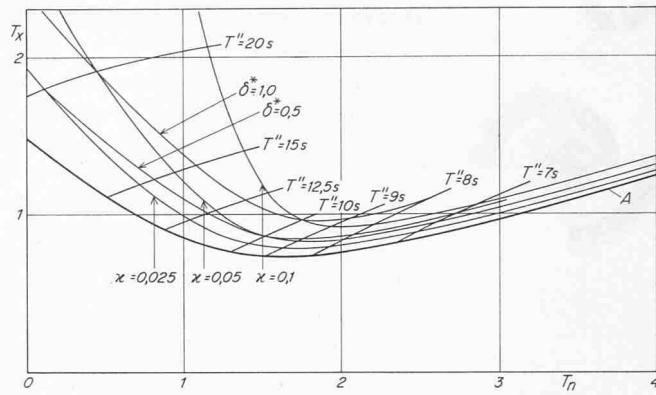


Bild 3. Verlauf des logarithmischen Dekrementes  $\delta^*$ , des Dämpfungsfaktors  $\zeta$  und der Schwingungsdauer  $T''$  der Drehzahlenschwankungen im  $T_x$ - $T_n$ -Diagramm; A Stabilitätsgrenze

Druckstoss

$$(3) \quad \Delta H = \Theta f \left( \frac{1}{i} \frac{d}{dt} \Delta \dot{E}_0 + \frac{3 - 2b_h}{2} \frac{d}{dt} \Delta H + 2b_h \frac{d}{dt} \Delta N \right)$$

Bei Anwendung des Hurwitz-Kriteriums für das durch die Gleichungen (1), (2) und (3) gebildeten Matrix-Systems können für jedes Wertepaar der Regelungsparameter  $T_n$  und  $T_x$  die numerischen Werte des Dämpfungsfaktors  $\zeta$ , des logarithmischen Dekrements  $\delta^*$  und der Pseudoperiode der Regelungsschwankungen  $T''$ , (Bild 2) angegeben werden. Das logarithmische Dekrement wird wie folgt bestimmt:

$$(4) \quad \delta^* = \ln \frac{A_1}{A_2}$$

Der Dämpfungsfaktor  $\zeta$  gibt das Zurückkommen auf den Beharrungszustand besser als  $\delta^*$  an; für ihn gilt:

$$(5) \quad \zeta = \frac{\delta^*}{T''}$$

## 3. Darstellung der Stabilität beim Abklingen einer Störung; erstes Kriterium

Es ist zweckmäßig, die Größen  $\delta^*$ ,  $\zeta$  und  $T''$  in ein Diagramm einzutragen, auf dessen Ordinate  $T_x$  und auf dessen Abszisse  $T_n$  aufgetragen wird. Bild 3 zeigt ein solches  $T_x$ - $T_n$ -Diagramm für eine Francisturbine mit folgenden Hauptdaten:

Nominale Fallhöhe	$H_n = 323$	m
Vorgesehener Wasserstrom	$V = 8,17$	$\text{m}^3/\text{s}$
Nominale Drehzahl	$N = 750$	U/min
Mittlerer Leitungsquerschnitt	$S = 1,60$	$\text{m}^2$
Nominale Leistung	$E_0 = 24300$	kW

Mit Hilfe einer Darstellung nach Bild 3 lässt sich das Betriebsverhalten einer Anlage bei Laständerungen in Abhängigkeit von den auf dem Turbinenregulator einstellbaren Regelungsparametern  $T_x$  und  $T_n$  voraussagen.

## 4. Optimierung der Regelung mittels des Kennwertes der Frequenzabweichung; zweites Kriterium

Die Größen  $\delta^*$  bzw.  $\zeta$  und  $T''$  legen den zeitlichen Verlauf der Frequenzabweichungen eindeutig fest, die bei Laständerungen im Inselbetrieb auftreten. Sie bilden daher ein für diesen Fall geeignetes Kriterium des Regelungsverhaltens. Im

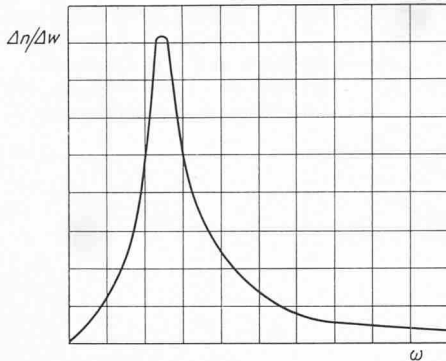


Bild 4. Verlauf des Verhältnisses  $\Delta n / \Delta w$  in Abhängigkeit von der Frequenz  $\omega$  der Laständerung nach [7]

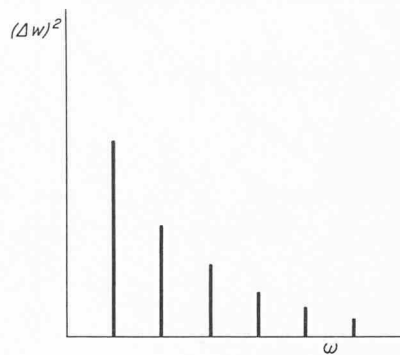


Bild 5. Linienspektrum der Werte  $(\Delta w)^2$  in Abhängigkeit von  $\omega$

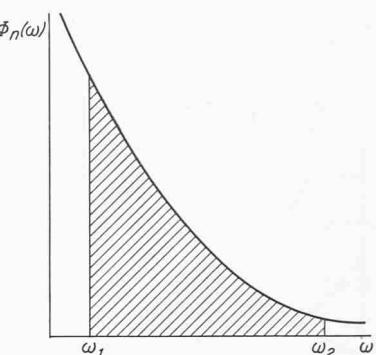


Bild 6. Kontinuierliches Spektrum der Funktion  $\Phi_n(\omega)$  in Abhängigkeit von  $\omega$

Verbundbetrieb mit grossen Netzen liegen andere Verhältnisse vor. Die Laständerungen sind selten grösser als einige Prozente der Vollast; sie folgen sich kontinuierlich. Dementsprechend schwankt die Abweichung des Frequenzverhältnisses  $\Delta n$  ebenfalls fortwährend um seinen Sollwert  $n_0$ . Um nun zu einem für den Verbundbetrieb geeigneten Kriterium für die Güte der Regelung zu kommen, ist es zweckmässig – ähnlich wie man in der Elektrotechnik Effektivwerte bildet – den quadratischen Wert der Grösse  $\Delta n$  über eine grosse Zeitspanne  $T$  zu integrieren. Man erhält dann den als *Kennwert der Frequenzabweichung* (écart-type de fréquence) bezeichneten Ausdruck

$$(6) \quad \sigma_n = \sqrt{\frac{1}{T} \int_0^T (\Delta n)^2 dt}$$

Eine Turbinenregelung ist umso besser, je kleiner dieser Kennwert ist. Die Optimierung besteht somit darin, die Reglerparameter  $T_n$  und  $T_x$  so einzustellen, dass  $\sigma_n$  minimal ausfällt.

Um den Zusammenhang zwischen der Lastschwankung  $\Delta w$  und der Drehzahlenschwankung  $\Delta n^2$ ) mathematisch formulieren zu können, sei vorerst der einfache Fall näher betrachtet, bei dem sich die Last sinusförmig mit der Amplitude  $\Delta w$  und der Frequenz  $\omega$  verändert. Dann ändert sich auch die Drehzahlabweichung  $\Delta n$  sinusförmig mit der gleichen Frequenz  $\omega$ . Untersucht man das Verhältnis der Amplituden  $\Delta n / \Delta w$  in Abhängigkeit von der Lastfrequenz  $\omega$ , so erhält man den in Bild 4 schematisch dargestellten Verlauf. Er ist einfach zu verstehen: Bei sehr langsamem Laständerungen folgen die Regelvorgänge diesen Änderungen ohne Verzögerung, so dass das Verhältnis  $\Delta n / \Delta w$  klein ist und mit  $\omega = 0$  verschwindet. Bei raschen Lastschwankungen wirkt sich die Trägheit der rotierenden Massen stark aus, so dass  $\Delta n / \Delta w$  mit wachsendem  $\omega$  ebenfalls abnimmt. Dazwischen erreicht das Verhältnis  $\Delta n / \Delta w$  ein Maximum. Bei den üblichen Fällen von Wasserturbinenregelungen liegt der Bereich, wo sich dieses Verhältnis auf die Regelung merklich auswirkt, nach [7] zwischen  $\omega_1 = 0,015$  Hz und  $\omega_2 = 0,3$  Hz.

Für eine bestimmte Maschinengruppe kann eine Übertragungsfunktion (Transferfunktion)  $H(\omega)$  aufgestellt werden, welche die Amplitude und die Phase der Drehzahlabweichung  $\Delta n$  festlegt, die durch eine sinusförmige Belastungsschwankung mit der Amplitude  $\Delta w$  und der Frequenz  $\omega$  hervorgerufen wird. Die Drehzahlabweichung, die sich hieraus ergibt, lässt sich dann aus der Gleichung berechnen:

$$(7) \quad \Delta n^2 = [H(\omega)]^2 \cdot (\Delta w)^2$$

<sup>2)</sup> Um Verwechslungen mit der Netzfreqenz zu vermeiden, wird nachfolgend für  $\Delta n$  der Ausdruck «Drehzahlabweichung» verwendet.

Das wirkliche Lastdiagramm lässt sich als Übereinanderlagerung einer endlichen Zahl von sinusförmigen Schwingungen um den zeitlichen Mittelwert von der Amplitude  $\Delta w$  und der Frequenz  $\omega$  auffassen. Bild 5 zeigt ein entsprechendes Linienspektrum. Im Hinblick auf die Gleichungen (6) und (7) stellen die Höhen der einzelnen Linien den Wert  $(\Delta w)^2$  dar. Die Drehzahlabweichung  $\Delta n$  ergibt sich nun durch Summierung nach der Gleichung

$$(7a) \quad \Delta n^2 = \sum [H(\omega)]^2 \cdot (\Delta w)^2$$

Wie D. Gaden in [7] näher ausführt, weisen die Werte  $(\Delta w)^2$  eine bemerkenswerte Regelmässigkeit auf. Es ist daher möglich, sie als eine Funktion von  $\omega$  darzustellen. Bild 6 zeigt ein kontinuierliches Spektrum als graphische Darstellung einer solchen Funktion. Dabei wird als Ordinate eine Funktion  $\Phi_n(\omega)$  aufgetragen, deren massgebender Faktor die Übertragungsfunktion  $H(\omega)$  ist und die man als *spektrale Dichte der Lastabweichungen* (Densité énergétique des variations de charge) bezeichnet<sup>3)</sup>. Diese Funktion ist derart aufgestellt worden, dass die Fläche unter der Kurve in Bild 6 zwischen den Ordinaten  $\omega_1$  und  $\omega_2$  gleich dem Quadrat der Kennzahl  $\sigma_n$  ist, dass also die Gleichung gilt

$$(8) \quad \sigma_n^2 = \int_{\omega_1}^{\omega_2} \Phi_n(\omega) dw,$$

Dabei bezeichnen  $\omega_1$  und  $\omega_2$  die oben erwähnten Grenzwerte, innerhalb welcher das Verhältnis  $\Delta n / \Delta w$  für die Regelung von Bedeutung ist.

Es muss nun für die Kurve in Bild 6 ein mathematischer Ausdruck gefunden werden. Erfahrungen und theoretische Untersuchungen führten zu folgendem Ansatz:

$$(9) \quad \Phi_n(\omega) = \frac{k}{a^2 + \omega^2}$$

Hierin ist  $a$  vernachlässigbar klein, also kann gesetzt werden:

$$(9a) \quad \Phi_n(\omega) = \frac{k}{\omega^2},$$

wobei  $k$  ein einfacher Proportionalitätsfaktor ist. Für eine Wasserturbine mit einfacher Regelung hat die E.d.F. die folgende Gleichung zur Berechnung der Kennzahl der Frequenzabweichung aufgestellt:

$$(10) \quad \sigma_n = \frac{k T_\delta^3}{2 T_\sigma^2} i^2$$

<sup>3)</sup> Die Funktion  $\Phi_n(\omega)$  ist in [3] definiert.

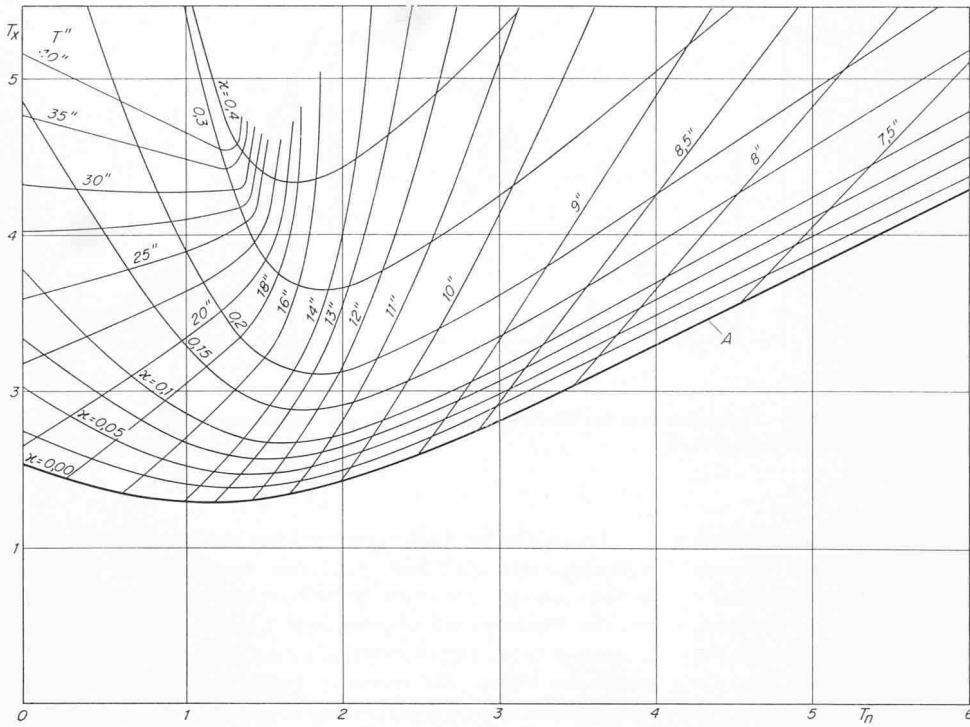


Bild 7. Verlauf der Werte  $x$  und  $T''$  sowie der Kurve A der Stabilitätsgrenze im  $T_x, T_n$ -Diagramm gemäss der Berechnungsart von Charmilles. A Stabilitätsgrenze

Hierin sind  $T_\delta$  und  $T_\sigma$  Zeitkonstanten der Maschine und der Anlage. Für  $i^2$  gilt

$$(11) \quad i^2 = \frac{\pi}{u^3 x} \frac{y + u^2 x}{y(v - x - y) - ux}$$

wobei

$$(12) \quad x = \frac{T_\beta^2}{s T_\sigma} \frac{1}{T_x}$$

$$(13) \quad y = \frac{1}{T_\sigma} \left( T_\gamma - T_\beta \frac{T_n}{T_x} \right)$$

$$(14) \quad u = s \frac{T_\delta}{T_\beta}$$

$$(15) \quad v = \frac{1}{T_\sigma} \left( T_\gamma + \frac{e}{s} T_\beta \right)$$

In diesen Gleichungen hängen nur die Größen  $T_n$  und  $T_x$  von der Einstellung des Regulators ab, während die andern Größen durch die Daten der Anlage, der Turbine und deren Betriebsverhältnisse gegeben sind. Mit ihnen ist es möglich, für eine gegebene Kraftwerkgruppe und bestimmte Betriebsverhältnisse die Kenngröße  $\sigma_n$  der Frequenzabweichung in Abhängigkeit von  $T_n$  und  $T_x$  zu berechnen und graphisch darzustellen. Bild 8 zeigt ein solches Diagramm.

## 5. Stabilitätsbedingungen

Die nach der Gleichung (10) berechneten Werte müssen der Stabilitätsbedingung entsprechen. Diese verlangt, dass in Gleichung (11) jedes Glied im Nenner des Bruches positiv sei. Es müssen also sein:

$$(16) \quad u^3 x > 0$$

$$(17) \quad y(v - x - y) - ux > 0$$

Gleichung (16) wird erfüllt, wenn  $u > 0$  und  $x > 0$  sind. Das trifft zu, wenn  $T_x > 0$  ist. Gleichung (17) nimmt unter

Berücksichtigung der Ausdrücke (12), (13), (14), (15) für die Stabilitätsgrenze die Form an:

$$(18) \quad T_n^2 \left( \frac{T_\beta}{T_\sigma} \right)^2 + T_x^2 \left( \frac{e}{s} \frac{T_\beta T_\gamma}{T_\sigma^2} \right) - T_n T_x \left( T_\gamma + \frac{e}{s} \right) - T_n \left( \frac{T_\beta^3}{T_\sigma^2 s} \right) - T_x \left( T_\delta + \frac{T_\beta}{s} \right) = 0$$

Die Gleichung (18) stellt im  $T_x, T_n$ -Diagramm eine durch den Ursprung gehende Kegelschnittkurve dar. Die Betrachtung ihrer Koeffizienten zeigt, dass in unserem Fall die Gleichung gilt:

$$(19) \quad \left( \frac{T_\beta}{T_\sigma} \right)^2 \left( \frac{e}{s} \frac{T_\beta T_\gamma}{T_\sigma^2} \right) - \left( T_\gamma + \frac{e}{s} \right) > 0$$

dass also Gleichung (18) eine Hyperbel darstellt. Es ist nun leicht, deren geometrische Kenngrößen zu bestimmen, nämlich die Lage des Zentrums sowie die Winkelkoeffizienten ihrer Achsen und ihrer Asymptoten.

Die Koordinaten  $F$  und  $G$  des Zentrums erhält man durch Auflösen des folgenden Gleichungssystems:

$$(20) \quad \left( \frac{T_\beta}{T_\sigma} \right)^2 F + \left( T_\gamma + \frac{e}{s} \right) G + \frac{T_\beta^3}{T_\sigma^2 s} = 0$$

$$(21) \quad \left( T_\gamma + \frac{e}{s} \right) F + \frac{e}{s} \frac{T_\beta T_\gamma}{T_\sigma^2} G + \left( T_\delta + \frac{T_\beta}{s} \right) = 0$$

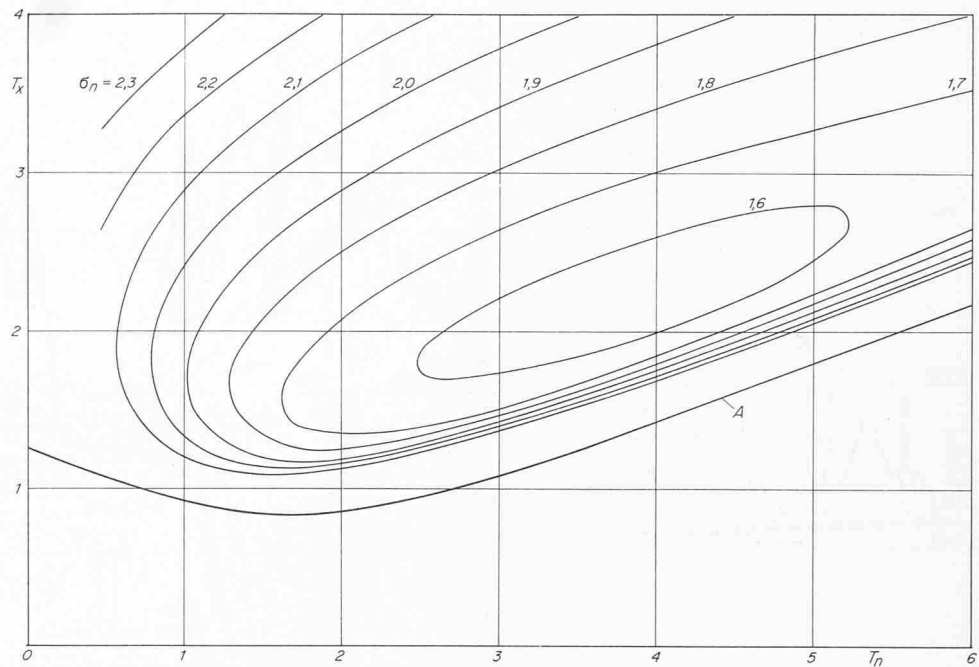
Die Winkelkoeffizienten der Asymptoten sind gegeben durch die zwei Lösungen  $m_1$  und  $m_2$  der Gleichungen zweiten Grades

$$(22) \quad \frac{e}{s} \frac{T_\beta T_\gamma}{T_\sigma^2} m^2 + \left( T_\gamma + \frac{e}{s} \right) m + \left( \frac{T_\beta}{T_\sigma} \right)^2 = 0$$

Die Winkelkoeffizienten der Achsen ergeben sich aus den zwei Lösungen  $M_1$  und  $M_2$  der Gleichung zweiten Grades

$$(23) \quad M^2 + \frac{\left( \frac{T_\beta}{T_\sigma} \right)^2 - \frac{e}{s} \frac{T_\beta T_\gamma}{T_\sigma^2}}{\frac{1}{2} \left( T_\gamma + \frac{e}{s} \right)} M - 1 = 0$$

Bild 8. Verlauf des Kennwertes  $\sigma_n$  der Frequenzabweichung sowie der Kurve A der Stabilitätsgrenze im  $T_x, T_n$ -Diagramm. A Stabilitätsgrenze



Damit ist es möglich, die Kurve der Stabilitätsgrenze ins  $T_x, T_n$ -Diagramm einzuziehen, Kurve A in den Bildern 7 und 8.

#### 6. Vergleich zwischen den beiden Berechnungsarten

In den Abschnitten 2 bis 5 wurden die Annahmen beschrieben und die Gleichungen angegeben, die den rechnerischen Untersuchungen über das Betriebsverhalten bestimmter Anlagen und die Ermittlung der günstigsten Reglereinstellung zugrunde liegen. Dabei sind zwei Fälle von Laständerungen betrachtet worden, ein einfacher, mathematisch leicht fassbarer, und einer, der einem beliebig sich ändernden Lastdiagramm entspricht, wie es in Wirklichkeit vorkommt. Dementsprechend ergaben sich zwei Kriterien für die Reglereinstellung. Diese sollen nun nachfolgend auf den Betrieb einer Francis-turbine angewendet werden, deren Hauptdaten sind:

Nettofallhöhe	$H_n = 413$	m
Vorgesehener Wasserstrom	$\dot{V} = 12$	$\text{m}^3/\text{s}$
Drehzahl	$N = 750$	U/min
Druckverluste in den Zufuhranlagen entsprechend dem vorgesehenen Wasserstrom	$Ah = 36$	m
Mittlerer Querschnitt der Druckleitung	$S = 2,42 \text{ m}^2$	
Länge der Druckleitung	$L = 1290$	m
Nennleistung	$E_0 = 44090$	kW

Die wichtigsten, für die Berechnung notwendigen Parameter sind:

Fortpflanzungsgeschwindigkeit der Druckstosswelle in der Leitung	$a = 1050$	m/s
Relative Empfindlichkeit des Wassersstroms in bezug auf die Fallhöhe	$b_n = 0,74$	
Relative Empfindlichkeit des Wassersstroms in bezug auf die Drehzahl	$b_n = -0,48$	
Relative Empfindlichkeit des Wassersstroms in bezug auf die Stellung des Servomotors	$b_x = 0,77$	

Druckverluste im Verhältnis zur Fallhöhe

$$c = 0,0485$$

Relative Empfindlichkeit des Wirkungsgrades in bezug auf die Fallhöhe

$$d_h = 0,07$$

Relative Empfindlichkeit des Wirkungsgrades in bezug auf die Drehzahl

$$d_n = -0,14$$

Relative Empfindlichkeit des Wirkungsgrades in bezug auf die Stellung des Servomotors

$$d_x = 0,04$$

Reflexionsdauer der Druckstosswelle in der Leitung

$$T_r = 2,465 \text{ s}$$

Zeitkenngroße der Wasserleitung

$$T_0 = 1,18 \text{ s}$$

Anlaufzeit der Gruppe

$$T_\sigma = 3,0 \text{ s}$$

Die Berechnungen wurden für einen Betriebspunkt durchgeführt, der 80% der maximalen Leistung bei der garantierten Nettofallhöhe entspricht. Rechnet man nach dem ersten Kriterium, so erhält man den in Bild 7 dargestellten Verlauf der charakteristischen Größen

$$(25) \quad \alpha = f(T_n, T_x)$$

und

$$(26) \quad T'' = f(T_n, T_x)$$

Demgegenüber zeigt Bild 8 den Verlauf der Kennzahl

$$(27) \quad \sigma_n = f(T_n, T_x)$$

Um den Unterschied zwischen den Reglerparametern  $T_n$  und  $T_x$ , die optimalen Bedingungen entsprechen, deutlich zu machen, werden folgende Fälle betrachtet:

a. Ermittlung der Stabilisierung nach Störungen bei Inselbetrieb. Hier ist das erste Kriterium anzuwenden. Wir finden aus Bild 7 die Werte

$$T_n = 1,5 \text{ s}; T_x = 1,45 \text{ s}$$

Sie entsprechen, wie aus Bild 7 abzulesen ist, einem Dämpfungs faktor  $\alpha = 0,05$  und einer Pseudoschwingungsdauer

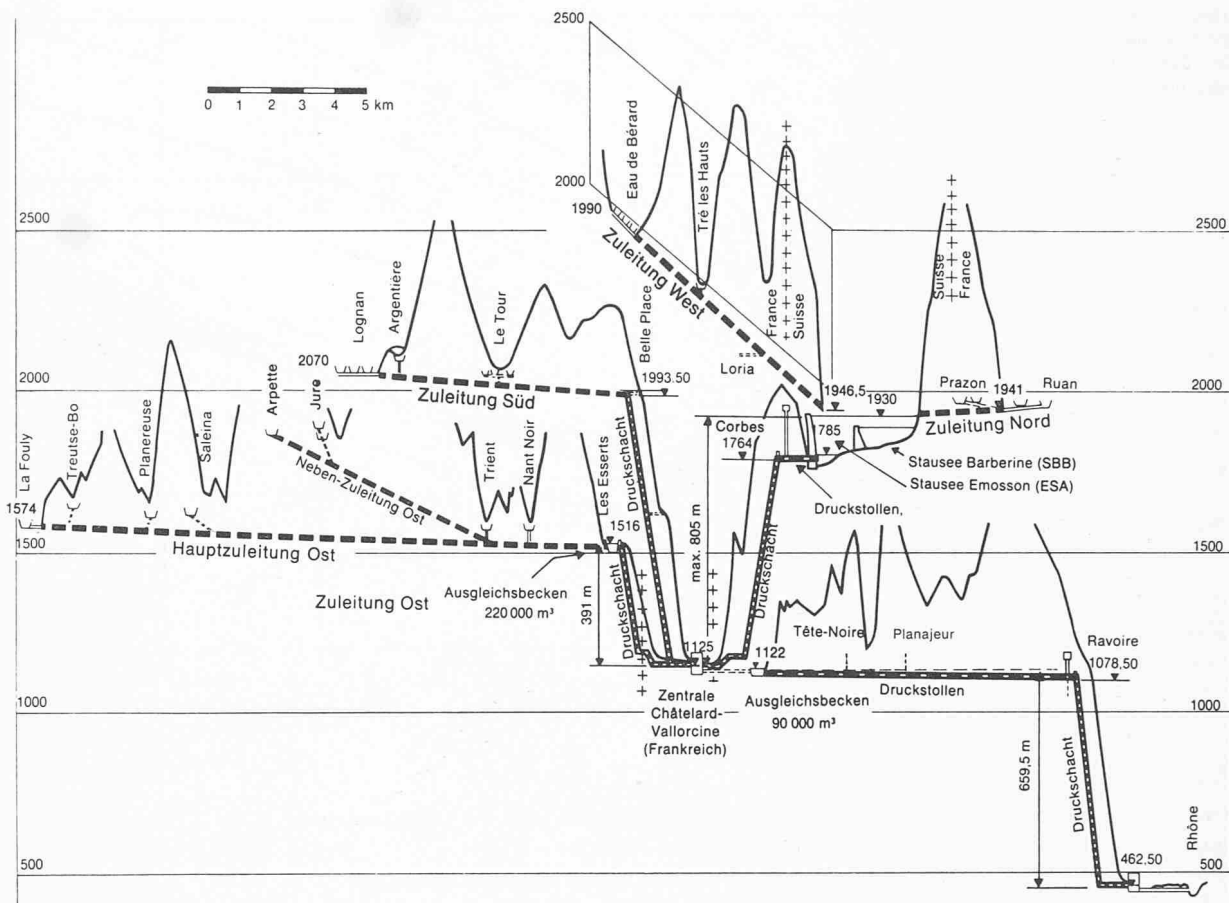


Bild 9a. Längenprofil der Kraftwerkgruppe Emosson. Längen 1:240 000, zehnfach überhöht

$T'' = 12,5$  s. Obwohl der Wert  $T_x$  hoch ist, der Regelvorgang also langsam erfolgt, sind die Werte  $T_n$  und  $T_x$  im Hinblick auf die Berechnungsbedingungen annehmbar.

b. *Stabilisierung bei Netzbetrieb.* Bei Anwendung des zweiten Kriteriums findet man auf Bild 8 den Punkt, welcher der minimalen Kennzahl  $T_n$  entspricht, im Innern der Ellipse  $\sigma_n = 1,6$ ; seine Koordinaten sind:

$$T_n = 3,3 \text{ s}; T_x = 2,05 \text{ s}$$

Beide Werte sind hoch, so dass befürchtet werden muss, sie seien bei Leerlauf und beim Parallelschalten aufs Netz nicht die besten. Nur Versuche an der ausgeführten Anlage und unter den der Berechnung zugrunde gelegten Bedingungen können die Vor- und Nachteile oder allfällige, nicht voraussehbare Wirkungen zeigen, die sich aus der Einstellung des einen oder des anderen Wertes ergeben. Man muss dazu die Inbetriebsetzung der betreffenden Maschinengruppe abwarten.

## 7. Anwendung auf die Kraftwerkgruppe Emosson

Die Electricité d'Emosson S.A., die gegenwärtig die hydroelektrische Speicheranlage Emosson baut, ist eine französisch-schweizerische Unternehmung, an welcher die Electricité de France (E.d.F.) mit 50%, die Motor-Columbus AG, Baden, mit 25% und die Aare-Tessin AG, Olten (ATEL), mit 25% beteiligt sind. Sie dient der Erzeugung von Spitzenenergie und ergänzt die Produktion von Kernkraftwerken, welche die Grundlast deckt [8].

Das Kernstück dieser Anlage bildet der Stausee von Emosson von 225 Mio m<sup>3</sup> Inhalt mit Stauziel auf 1930 m ü. M., der durch eine Bogenstaumauer von 180 m Höhe über dem Fundament und 424 m Kronenlänge künstlich geschaffen

wird<sup>4)</sup>. Der Lageplan und das Längenprofil (Bild 9) geben eine Übersicht über das ausgedehnte Stollensystem von insgesamt rund 45 km Länge sowie über die Lage der Speicherseen und der Zentralen<sup>5)</sup>. Der See staut das Speicherbecken des Kraftwerkes Barberine der Schweizerischen Bundesbahnen (SBB) ein, das 1927 in Betrieb kam, weshalb vom genannten Inhalt 55 Mio m<sup>3</sup> den SBB zugeteilt sind. Ausser dem natürlichen Einzugsgebiet des Stauses von 32,21 km<sup>2</sup> führt ein 2,6 km langer Nordstollen das Wasser aus den Oberläufen des Giffre-Baches (3,0 km<sup>2</sup>) und ein 7,9 km langer Weststollen das Wasser aus den Oberläufen der Bäche Eau de Bérard und Tré-les-Hauts (je 6,5 = 13 km<sup>2</sup>) zu. Hinzu kommt ein Südstollen von 8,7 km Länge, der das Wasser aus den Gletschergebieten von Lognan (3,5 km<sup>2</sup>), Argentière (26,7 km<sup>2</sup>) und le Tour (12,0 km<sup>2</sup>) sammelt. Diese werden entweder in der Zentrale Châtelard-Vallorcine verarbeitet oder fliessen unter natürlichem Gefälle in den Stausee von Emosson. Das dort gespeicherte Wasser wird mit einer Bruttofallhöhe von 1400 m bis ins Rhonetal zweistufig ausgenützt.

Die *obere Stufe Emosson-le Châtelard* weist eine Bruttofallhöhe von 805 m auf. In der Zentrale le Châtelard befinden sich drei vertikalachsige, dreiteilige Maschinensätze, jeder bestehend aus einem Generator von 70000 kVA bei  $\cos\varphi = 0,9$ , einer fünfdüsigen Pelton-turbine von 64000 kW und einer Zusatzmaschine; Drehzahl 600 U/min. Bei einer Gruppe wirkt

<sup>4)</sup> Eine Beschreibung der geomechanischen Untersuchungen für dieses Bauwerk findet sich in [10].

<sup>5)</sup> Das Speicherwerk Emosson ist ausführlich an Hand zahlreicher, teils farbiger Pläne in [9] beschrieben. Eine weitere Beschreibung findet sich in [8]; Bild 9 ist uns freundlicherweise von der Motorcolumbus AG, Baden, zur Verfügung gestellt worden.

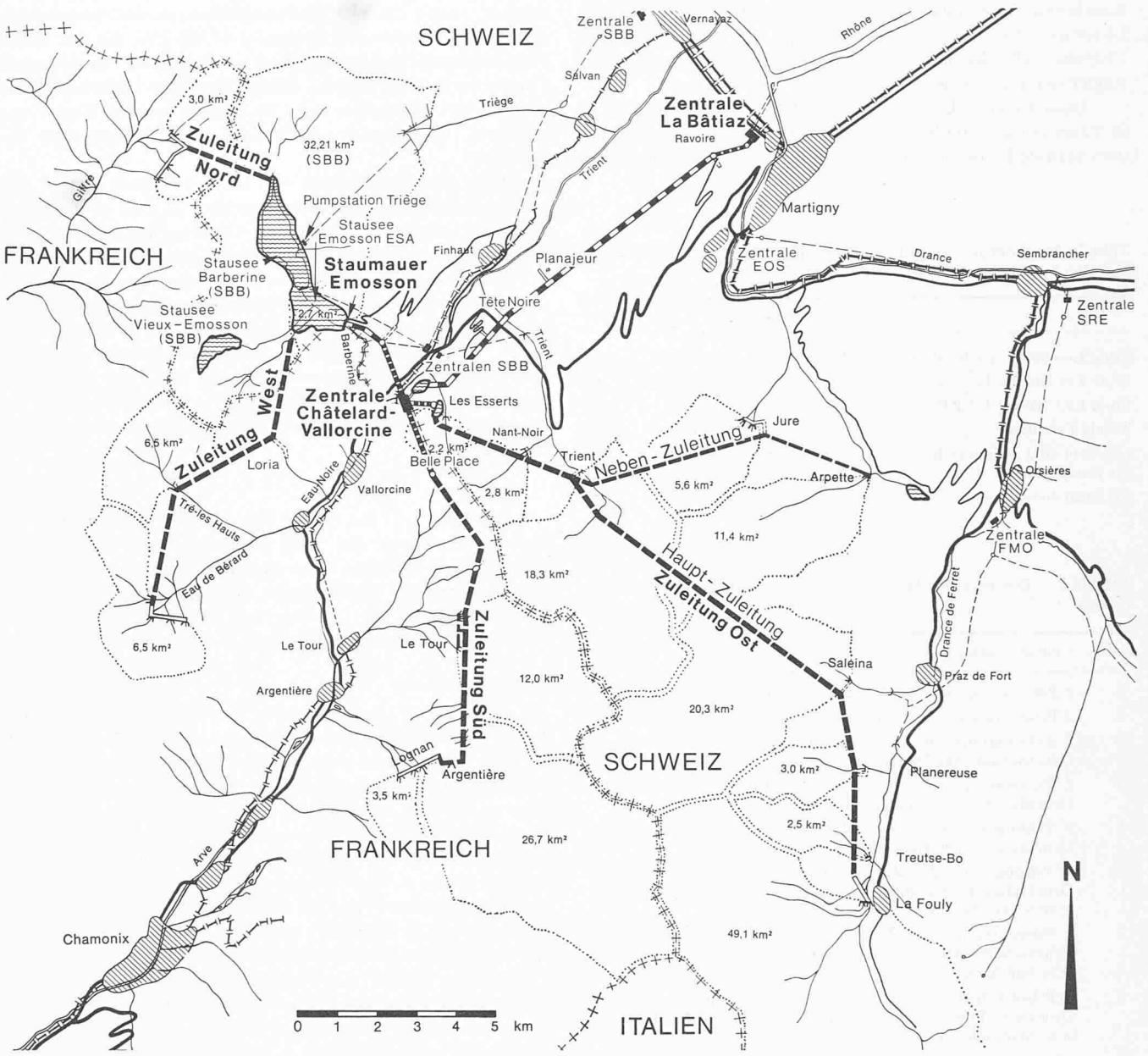


Bild 9b. Lageplan 1:160 000 der Kraftwerkgruppe Emosson

als Zusatzmaschine eine Francisturbine von 50500 kW bei einer Nennfallhöhe von 382 m, bei den beiden andern Gruppen sind es je eine dreiflügelige Speicherpumpe mit einer Leistungsaufnahme von je 38200 kW bei 390 m Förderhöhe.

Auf einer tiefer gelegenen Ebene sammelt ein Hauptstollen Ost (18,3 km), in den ein Nebenstollen (7,3 km) mündet, das Wasser aus den Oberläufen der Drance de Ferret (49,1 + 25,8 km<sup>2</sup>), des Arpette- und des La Jure-Tales (17,0 km<sup>2</sup>) sowie jenes von Trient und Nant Noir (21,1 km<sup>2</sup>) und führt es dem Ausgleichsbecken von Les Esserts zu, das 0,22 Mio km<sup>3</sup> fasst und ein natürliches Einzugsgebiet von 2,2 km<sup>2</sup> aufweist. Sein Staumauer liegt auf 1516 m ü. M. Das in ihm gesammelte Wasser wird entweder in der oben erwähnten Francisturbine verarbeitet

oder mit den beiden Pumpen bei einer mittleren Förderhöhe von 390 m in den Stausee von Emosson gefördert.

Die *untere Stufe* nützt das in der Zentrale le Châtelard verarbeitete und in einem Ausgleichsbecken von 90000 m<sup>3</sup> Inhalt auf Kote 1122 gesammelte Wasser mit einer Bruttofallhöhe von maximal 659,5 m in der Zentrale la Bâtiaz in der Rhôneebene aus. Dazu dienen zwei vertikalachsige, fünfdüsige Pelton-turbinengruppen von je 81000 kW bei 428 U/min. Tabelle 1 orientiert über die Energieerzeugung des ganzen Kraftwerkssystems bei mittlerer Wasserführung.

Die Ateliers des Charmilles S.A. sind mit wichtigen Teillieferungen für die mechanischen Einrichtungen dieser Anlagen betraut worden. Ausser den beiden Pelonturbinen und ihren

Regelungseinrichtungen in der Zentrale la Bâtiac umfasst ihre Lieferung die Regelungseinrichtungen in der Zentrale le Châtelard (Regler und Regulatoren der Peltongruppen und Regler der Francisturbine).

Dem Kraftwerk Barberine der SBB, das sich gegenwärtig in Erneuerung befindet, wird eine gewisse Wassermenge aus dem Stausee Emosson zugeteilt. Ein neuer, gepanzerter Druck-

schacht speist die vier Peltonturbinen in der bestehenden Zentrale Barberine von insgesamt 47300 kW, die mit neuen Regelungseinrichtungen versehen werden. Diese Einrichtungen (Regler und Regulatoren) bilden ebenfalls Lieferungen der Ateliers des Charmilles S.A. Im ganzen werden Regler von gleichem Typ für stark verschiedene Arbeitsbedingungen verwendet.

Beim Kraftwerkssystem von Emosson lassen sich 14 verschiedene Betriebsarten unterscheiden; sie sind in Tabelle 2 zusammengestellt. Für jede dieser Arten wurden nach der oben beschriebenen Methode die minimalen Frequenzabweichungskennzahlen und die entsprechenden Regelungsparameter  $T_n$  und  $T_x$  berechnet, womit die optimale Regelung für jeden einzelnen Fall festgelegt war. Die Ergebnisse sind in Tabelle 3 und im  $T_x$ ,  $T_n$ -Diagramm, Bild 10, angegeben. Daraus wird deutlich, wie stark verschieden die Werte sind, auf welche die Regler eingestellt werden mussten. Wie ersichtlich, liegen die berechneten Punkte innerhalb eines Gebietes, das wie folgt begrenzt ist:

$$0,75 < T_n < 5; 0,1 < T_x < 3,25$$

Tabelle 1. Energieerzeugung des Kraftwerkssystems Emosson im Durchschnittsjahr in GWh

	Sommer	Winter	Jahr
Stufe Emosson-Le Châtelard	—	284,0	284,0
Stufe Les Esserts-Le Châtelard	25,2	14,8	40,0
Stufe Le Châtelard-La Bâtiac	43,5	266,6	310,1
Total Erzeugung	68,7	565,4	634,1
Getrennt sind aufzuwenden für Pumpenergie	123,7	—	123,7
für Ersatzlieferungen	26,3	23,7	50,0

Tabelle 2. Die verschiedenen Betriebsarten der Kraftwerkgruppe Emosson

Fall	Charakteristiken
1	1 Peltongruppe der Zentrale La Bâtiac in Betrieb
2	2 Peltongruppen der Zentrale La Bâtiac in Betrieb
3	1 Peltongruppe der Zentrale Châtelard, gespeist durch den Druckschacht des Staubeckens von Emosson
4	2 Peltongruppen der Zentrale Châtelard, gespeist durch den Druckschacht des Staubeckens von Emosson
5	3 Peltongruppen der Zentrale Châtelard, gespeist durch den Druckschacht des Staubeckens von Emosson
6	1 Peltongruppe der Zentrale Châtelard, gespeist durch den Druckschacht des Staubeckens von Emosson und durch die südliche Sammelmöglichkeit
7	2 Peltongruppen der Zentrale Châtelard, gespeist durch den Druckschacht des Staubeckens von Emosson und durch die südliche Sammelmöglichkeit
8	3 Peltongruppen der Zentrale Châtelard, gespeist durch den Druckschacht des Staubeckens von Emosson und durch die südliche Sammelmöglichkeit
9	1 Peltongruppe der Zentrale Châtelard, gespeist ausschließlich durch die südliche Sammelmöglichkeit
10	Die Francisgruppe der Zentrale Châtelard, gespeist durch das sekundäre Gefälle von Esserts
11	1 Peltongruppe der Zentrale SBB von Barberine, gespeist durch den Druckschacht SBB von Emosson
12	2 Peltongruppen der Zentrale SBB von Barberine, gespeist durch den Druckschacht SBB von Emosson
13	3 Peltongruppen der Zentrale SBB von Barberine, gespeist durch den Druckschacht SBB von Emosson
14	4 Peltongruppen der Zentrale SBB von Barberine, gespeist durch den Druckschacht SBB von Emosson

Tabelle 3. Berechnete Regelungsparameter

Fall	$\sigma_n$	$T_n$	$T_x$	Fall	$\sigma_n$	$T_n$	$T_x$
1	0,85	2,24	0,92	8	0,88	3,72	2,13
2	1,38	3,45	1,74	9	1,45	4,64	2,42
3	0,82	2,05	0,85	10	0,64	2,27	3,03
4	1,19	3,95	2,02	11	0,50	0,96	0,10
5	1,63	4,65	2,78	12	0,96	1,75	0,21
6	0,60	2,62	0,92	13	1,28	2,39	0,36
7	1,00	2,70	1,27	14	1,41	3,22	0,53



Bild 10. Optimale Werte der Regelungsparameter  $T_x$  und  $T_n$

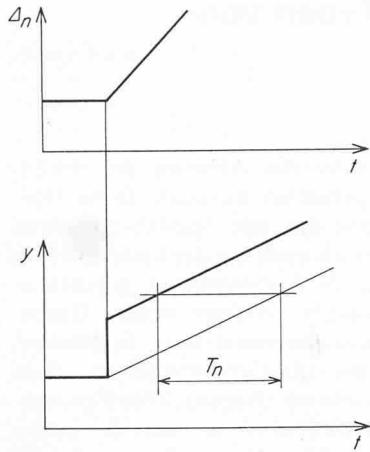


Bild 11. Zur Definition der Zeitkonstanten  $T_n$  für den Differentialeinfluss (Vorhaltezeit)

$f$	Abkürzung $\left( f = \frac{\operatorname{tg}(wL/a)}{wL/a} \right)$
$\alpha$	Selbststregelungsfaktor; Gl. (1)
$T_\sigma$	Anlaufzeit der Gruppe bei voller Öffnung
$T_x$	Zeitkonstante der Regelungsgeschwindigkeit (promptitude) s; Verhältnis der relativen Drehzahlbeschleunigung zur relativen Servomotorgeschwindigkeit bei fehlender bleibender Statik und bezogen auf eine bestimmte bleibende Drehzahlabweichung von ihrem Sollwert
$T_n$	Zeitkonstante für den Differentialeinfluss des Reglers (Vorhaltezeit), Bild 11, s
$e$	Relativer Selbststregelungsfaktor (siehe [3])
$s$	Relative Empfindlichkeit der Leistung auf die Leitrad servomotorstellung
$\omega$	Frequenz der sinusförmigen Lastvariationen
$\Phi_n$	Spektrale Dichte der Lastfunktion (densité spectrale)
$T_\beta, T_\gamma, T_\delta$	Zeitkonstanten (Abkürzungen von Ausdrücken, die in [3] definiert sind), s

### Bezeichnungen

$N$	Momentanwert der Drehzahl (Istwert) U/min.
$N_0$	Drehzahl bei Beharrung (Sollwert) U/min.
$n$ =	$N/N_0$ Drehzahlverhältnis, Frequenzverhältnis
$\Delta n$ =	$(N - N_0)/N_0$ Abweichung des Drehzahlverhältnisses vom Sollwert
$A$	Amplitude der Drehzahlenschwingung (Bild 2)
$T''$	Dauer der Drehzahlenschwingung (Bild 2)
$\sigma_n$	Kennwert der Frequenzabweichung (écart-type de fréquence)
$E_T$	Momentane Turbinenleistung kW
$E_0$	Nennleistung der Turbine kW
$H$	Fallhöhe m
$a$	Fortpflanzungsgeschwindigkeit des Druckstosses in der Druckleitung m/s
$b_h$	Relative Empfindlichkeit des Wasserstromes auf die Fallhöhe
$b_n$	Relative Empfindlichkeit des Wasserstromes auf die Drehzahl
$b_x$	Relative Empfindlichkeit des Wasserstromes auf die Servomotorstellung
$c$	Verhältnis der Druckverluste zur Fallhöhe
$d_h$	Relative Empfindlichkeit des Wirkungsgrades auf die Fallhöhe
$L$	Länge der Rohrleitung
$d_n$	Relative Empfindlichkeit des Wirkungsgrades auf die Drehzahl
$d_x$	Relative Empfindlichkeit des Wirkungsgrades auf die Servomotorstellung
$\theta$ =	$\frac{L V}{g H_0}$ Rohrleitungskonstante

### Literaturverzeichnis

- [1] Ransford, G. et Arnaud, P.: La détermination des caractéristiques optima d'un régulateur hydraulique, compte tenu de l'autoréglage et de la pente de la courbe de rendement, «La Houille Blanche», 1958, No 3.
- [2] Favez, B., Lericque, M. et Roquefort, M.: L'optimisation du réglage de vitesse des groupes hydroélectriques, «La Houille Blanche», 1964, No 1.
- [3] E.d.F.: Circulaire relative aux spécifications des régulateurs électriques de vitesse pour turbines hydrauliques. Note annexe à la circulaire, Paris 1965.
- [4] Gaden, D.: Considération sur le problème de la stabilité. Lausanne 1945, Imprimerie La Concorde.
- [5] Tschumi, A.: Exposé d'une méthode d'élaboration de graphiques exprimant les conditions de stabilité d'un groupe hydroélectrique. London 1965, Butterworths, IFAC Proceedings.
- [6] Tschumi, A.: Essais de stabilité et de réglage dans les centrales hydroélectriques. «Informations Techniques Charmilles», 1965, No 10.
- [7] Gaden, D.: Peut-on parler de la précision d'un réglage automatique et comment définir cette qualité? Cas du réglage de vitesse. «Bulletin Technique de la Suisse Romande» 82 (1956), No 7.
- [8] Mottier, J.-L.: L'aménagement hydroélectrique franco-suisse d'Emosson. «Bulletin Technique de la Suisse Romande» 96 (1970), No 18.
- [9] Weller, R.: Das französisch-schweizerische Speicherwerk Emosson. «Wasser- und Energiewirtschaft» 63 (1971), Nr. 8, S. 291–302.
- [10] Schnitter, N., dipl. Ing. und Schneider, T., Dr., beratender Geologe: Geomechanische Untersuchungen für die Staumauer Emosson. SBZ 87 (1969), H. 24, S. 465–472.

Adresse des Verfassers: A. Tschumi, dipl. Ing. ETHL, Leiter der Regulatorenabteilung, Wasserkraftmaschinen, der Ateliers des Charmilles S. A., 109, rue de Lyon, 1211 Genf 13.